

ریزخسارهای روسوبی و چینه‌نگاری سکانسی سازند آسماری در یال جنوبی تاقدیس کوه سیاه، شمال دهدشت، زاگرس

مرگان زارع^۱، حسین وزیری مقدم^۲، عزیزاله طاهری^۳ و علی غبیشاوی^۴

۱ گروه زمین‌شناسی، دانشکده علوم پایه، دانشگاه اصفهان، اصفهان

۲ دانشکده علوم زمین، دانشگاه صنعتی شاهرود، شاهرود

۳ معاونت زمین‌شناسی، شرکت ملی مناطق نفت خوزستان، شرکت ملی نفت ایران، اهواز

تویسته مسئول: m.zare201188@yahoo.com

دریافت: ۹۴/۶/۲۳ پذیرش: ۹۴/۱۱/۱۲

چکیده

سازند آسماری در حوضه زاگرس طی الیگومن میوسن نهشته شده است. در این پژوهش جهت بررسی ریزخسارهای روسوبی و چینه‌نگاری سکانسی این سازند در یال جنوبی تاقدیس کوه سیاه، (شمال دهدشت) ۱۲۷ نمونه مورد مطالعه قرار گرفته است. سازند آسماری در برش موردنظر مطالعه ۲۱۴ متر ضخامت داشته و مشتمل از آهک‌های خشیم، متوجه تنازک لایه با میان لایه‌های از آهک مارنی، آهک دولومیتی و مارن می‌باشد. مطالعات پتروگرافی و آنالیز ریزخسارهای حاکی از آن است که کربنات‌های سازند آسماری مشتمل از ۱۱ ریزخساره در قالب چهار گمریند ریزخسارهای دریای باز، سد، تالاب و پنهان جزوی در یک پلانفرم کربناته رمپ نهشته شده است. بر طبق الگوهای عمیق و کم عمق شدیدی ریزخسارهای فرازین به سن شاتین، سه سکانس درجه سه به سن آکیتانی و یک سکانس درجه سه به سن بوردیگالین تشخیص داده شده است.

واژه‌های کلیدی: الیگومن میوسن، چینه‌نگاری سکانسی، رمپ کربناته، ریزخساره، سازند آسماری.

مقدمه

از آنجایی که سازند آسماری اولین سنگ مخزن کربناته

شناخته شده در جهان و بزرگترین سنگ مخزن نفت در حوضه روسوبی زاگرس است مطالعات گسترده‌ای روی این سازند انجام گرفته است به عنوان مثال. زیست‌چینه‌نگاری این سازند توسط [۴۲، ۴۱، ۲۹، ۵، ۲۱، ۲۹، ۷، ۲۴ و ۲] مطالعه شده است. همچنین محیط روسوبی و چینه‌نگاری سکانسی آن توسط [۴۲ و ۴۴] و پالنواکولوژی آن توسط [۲، ۷، ۲۵ و ۳۱] مورد بررسی قرار گرفته است.

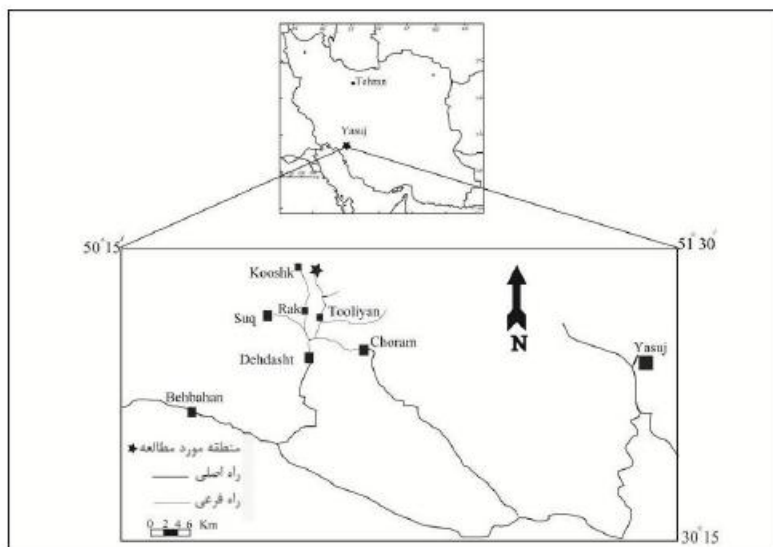
شناسایی و بررسی دقیق‌تر این سازند بر اساس ریزخسارهای و چینه‌نگاری سکانسی اطلاعات مفید و ارزشمندی را جهت مطالعات و فعالیت‌های اکتشافی در این حوضه به دست خواهد داد. هدف از این مطالعه بررسی دقیق ریزخسارهای و چینه‌نگاری سکانسی بر اساس روزنباران کفسی و سنگ‌شناسی سازند آسماری در برش یال جنوبی تاقدیس کوه سیاه می‌باشد. بر اساس پرآکنده‌گی روزنباران بزرگ پنتیک سن شاتین پسین-بوردیگالین برای این سازند در این برش در نظر گرفته

سازند آسماری، توالی ضخیمی از سنگ‌های کربناته به سن الیگو-میوسن در جنوب‌غربی ایران می‌باشد که در پخش پیش گودال حوضه فورلند زاگرس رسوب‌گذاری نموده است. در برش الگو واقع در تنگ گل ترش در دامنه جنوب‌غربی کوه آسماری سازند آسماری ۳۱۴ متر ضخامت داشته و مشتمل از سنگ‌آهک‌های کرم تا قهوه‌ای می‌باشد [۳]. در پخش شمال‌غربی حوضه زاگرس، ریزخسارهای آهکی این سازند به صورت بین انگشتی به عضو تیغیری کله‌ر تبدیل می‌شوند و در جنوب‌شرقی حوضه، عضو ماسه‌سنگی اهواز جایگزین ریزخسارهای آهکی می‌شود [۲۹] آهک‌های کم‌عمق سازند در پخش جنوب‌غربی حوضه زاگرس بر روی سازند پایده نهشته شده، در حالی که در نواحی فارس و لرستان بر روی سازندهای چهرم و شهیازان قرار گرفته‌اند. مرز بالایی آن در فارس داخلی سازند رازک و در فارس ساحلی، خوزستان و لرستان سازند تیغیری گچساران می‌باشد [۳].

موقعیت جغرافیایی و راه‌های دسترسی به منطقه مطالعه

پرش مورد مطالعه سازند آسماری در بال جنوبی تاقدیس کوه سیاه در ۱۶/۵ کیلومتری شمال شهرستان دهدشت در استان کهکیاریه و بویراحمد با مختصات جغرافیایی ۳۰ درجه و ۵۴ دقیقه و ۸/۹۲ ثانیه عرض شمالی و ۵۰ درجه و ۳۵ دقیقه و ۳۴/۳۷ ثانیه طول شرقی واقع شده است. این پرش از طریق جاده دهدشت-طولیان در نزدیکی روستای هیگون قابل دسترسی می‌باشد (شکل ۱).

شده است. سازند آسماری در منطقه مورد مطالعه به صورت پیوسته و همچیب روی سازند پایده و به صورت پیوسته و همچیب در زیر سازند گچساران قرار گرفته است. این توالی شامل آهک‌های نازک، متوسط و ضخیم لایه با میان لایه‌هایی از آهک مارنی و آهک دولومیتی، مارن می‌باشد. آنالیز چینه‌نگاری سکانسی منجر به شناسایی پنج سکانس رده سوم گردید. سکانس‌های تشخیص داده شده با سکانس‌های شناسایی شده در سایر نواحی زاگرس همخوانی تسبیحی دارد.



شکل ۱. نقشه ایران و موقعیت منطقه مورد مطالعه [۴].

واحد ۱: از قاعده تا ضخامت ۴۴ متری که شامل آهک‌های نازک و متوسط لایه به رنگ قهوه‌ای تا قهوه‌ای روشن با میان لایه‌هایی از مارن‌های زرد رنگ است. لایه‌های آهکی شامل بیوکلاست‌های دوکفه‌ای، شکم پا، مرجان، اکینید و فرامینیفرهای بزرگ می‌باشند.

واحد ۲: از ۴۵ متری تا ۱۱۰ متری که شامل آهک‌های ضخیم تا متوسط لایه به رنگ قهوه‌ای با میان لایه‌هایی از مارن‌های سیز رنگ را شامل شده و حاوی بیوکلاست‌های دوکفه‌ای، مرجان و جلپک قرمز می‌باشد.

واحد ۳: از ۱۱۱ متری تا ۱۳۹ متری که مشکل از لایه‌های آهکی و آهک دولومیتی متوسط لایه می‌باشد.

واحد ۴: از ۱۴۰ متری تا ۱۵۷ متری شامل آهک متوسط و ضخیم لایه قهوه‌ای رنگ یا میان لایه مارن حاوی خردکهای صدف می‌باشد.

روش مطالعه

در مرحله نخست پرش فوق در صحرا مورد بررسی قرار گرفت و با توجه به ویژگی‌های ریزرسارهای ۱۲۷ نمونه با فاصله تقریبی ۲ متر پرداشت و به منظور مطالعات آزمایشگاهی و تشخیص ریزرساره‌ها و تعیین الگوهای کم عمق شدگی و عمیق شدگی از آن‌ها مقاطع نازک تهیه گردید. تقسیم‌بندی ریزرساره‌ها بر مبنای طبقه‌بندی [۲۳] و شناسایی یافتها بر اساس رده‌بندی [۲۰ و ۲۱] انجام شده است.

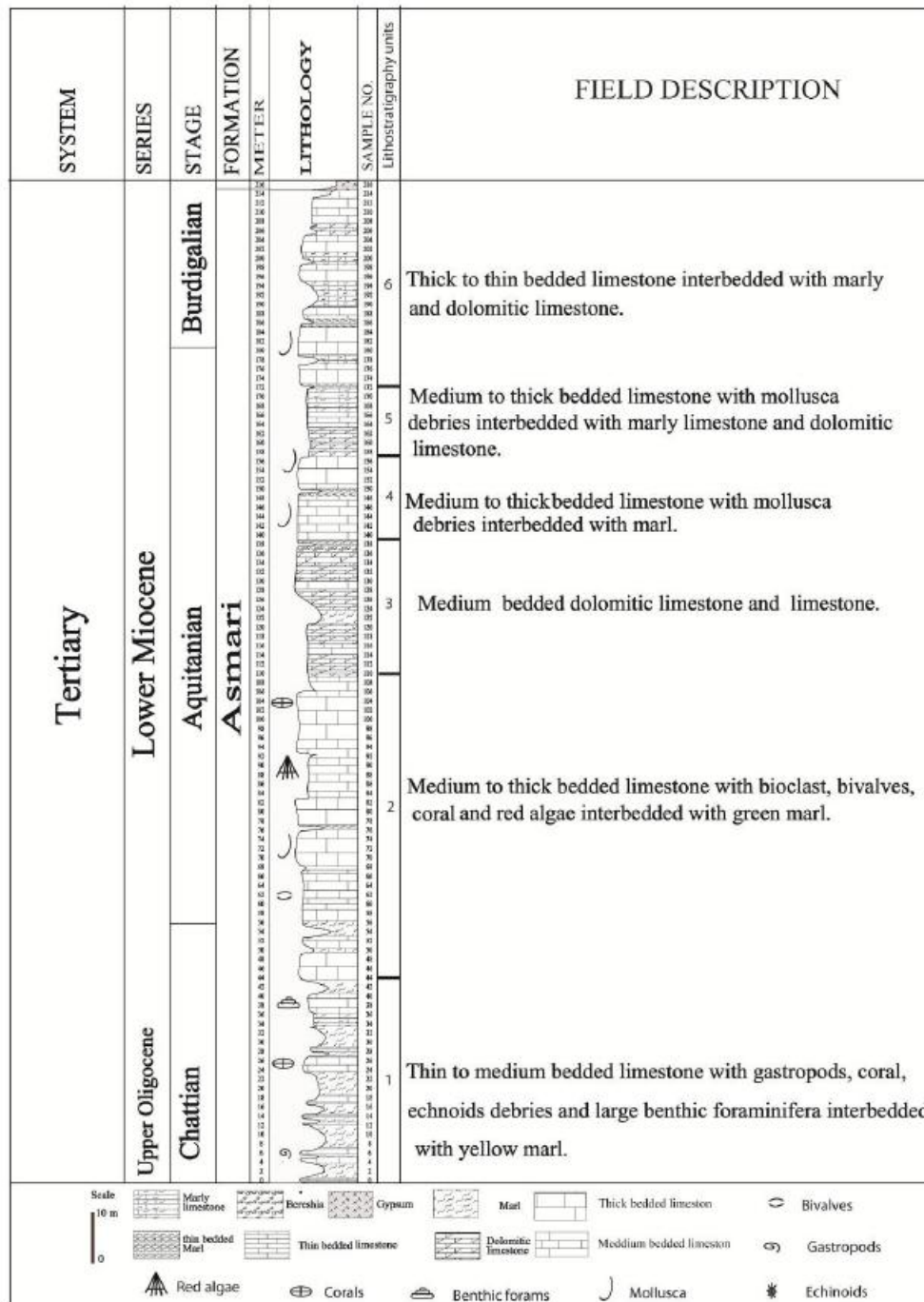
بحث

سنگ‌چینه‌نگاری سازند آسماری در پرش مورد مطالعه

سازند آسماری در منطقه مورد مطالعه ۲۱۴ متر ضخامت داشته و بر اساس ویژگی‌های صحرایی قابل تقسیم به واحدهای زیر است (شکل ۲).

واحد ۶ از ۱۷۳ متری تا ۲۱۴.۱ متری شامل آهک‌های ضخیم لایه با میان لایه‌هایی از مارن که به سمت بالا آهک‌ها متوسط و نازک لایه می‌شوند.

واحد ۵: از ۱۵۸ متری تا ۱۷۲ متری شامل آهک‌های متوسط تا ضخیم لایه قهوه‌ای رنگ حاوی بیوکلاست دوکفه‌ای و آهک دولومیتی و آهک مارنی متوسط لایه می‌باشد.



شکل ۲. ستون سنگ‌چینه‌نگاری سازند آسماری در بال جنوبی تاقدیس کوه سیاه

کاهش نور روزن‌داران برای افزایش جذب تور سطح خود را گسترش می‌دهند [۲۵]. روزن‌داران بزرگ کفزی دارای هم‌زیست جلیکی سازگار به شرایط الیگوتروفی می‌باشند [۱۲]. مشابه این ریزرساره از شمال اهواز و شمال شرقی لالی [۴۲] تا ناحیه چمن بلبل [۹] و تا ناحیه شمال غرب حوضه زاگرس [۴۴] از سازند آسماری گزارش شده است.

ریزد خساره ۳: بایوکلاستیک رو دولیت/مرجان لپیدوسیکلینا فلوتسون- رو دستون
دانه‌های اصلی شامل مرجان (۱۰ درصد)، لپیدوسیکلینا (Lepidocyclina) (۲۵ درصد)، جلیک قرمز (۱۰ درصد) و بایوکلاست‌ها شامل خردۀ‌های دوکفه‌ای، اکینید و پریوزوئر (۱۰-۱۵ درصد) می‌باشد. (شکل ۳-۳) دانه‌ها در متن میکرایتی یا یافت گل پشتیبان تا دانه‌پشتیبان بوده و بیش از ۵۰ درصد دانه‌ها بزرگ‌تر از ۲ میلی‌متر می‌باشند. مرجان‌ها به صورت پراکنده و جلیک‌های قرمز هم عموماً به صورت رو دولیت که مرجان‌ها را احاطه کرده‌اند دیده می‌شوند. لپیدوسیکلینات‌ها نسبت به ریزرساره قبلی کمی عدسی‌تر و کوچک‌تر شده‌اند و محیط کم عمق‌تری را نشان می‌دهند [۱۱ و ۱۲].

فراآنی جلیک قرمز کورالینا سه آ، روزن‌داران کفزی عدسی شکل و همراهی آن‌ها با مرجان‌ها بیانگر رسوب‌گذاری ریزرساره در زون نوری الیگوفوتیک یا می‌زوفوتیک [۳۳] می‌باشد. مشابه این ریزرساره از سازند آسماری در تا ناحیه فارس گزارش شده است [۳۸].

ریزد خساره ۴: بایوکلاستیک لپیدوسیکلینا رو دستون
دانه‌های اصلی شامل خردۀ‌های نرم‌تان (۳۰-۲۰ درصد) و لپیدوسیکلینا (Lepidocyclina) (۴۰-۳۰ درصد) می‌باشد (شکل ۴-۳). وجود لپیدوسیکلینیده‌های تخم مرغی شکل نشان دهنده عمق کمتری نسبت به ریزرساره‌های قبلی و هم‌چنین گویای ارزوی هیدروبدینامیکی بیشتری در محیط می‌باشد [۱۰]. این ریزرساره بیانگر یخشی کم عمق حوضه است. مشابه این ریزرساره از سازند آسماری در تا ناحیه فارس گزارش شده است [۳۸].

تجزیه و تحلیل ریزد خساره‌ها

بر اساس تجزیه و تحلیل پتروگرافی در توالی مورد مطالعه ۱۱ ریزرساره تشخیص داده شده است (جدول ۱، شکل‌های ۳ و ۴).

ریزد خساره ۱: پلانکتونیک فرامینیفرا بایوکلاستیک

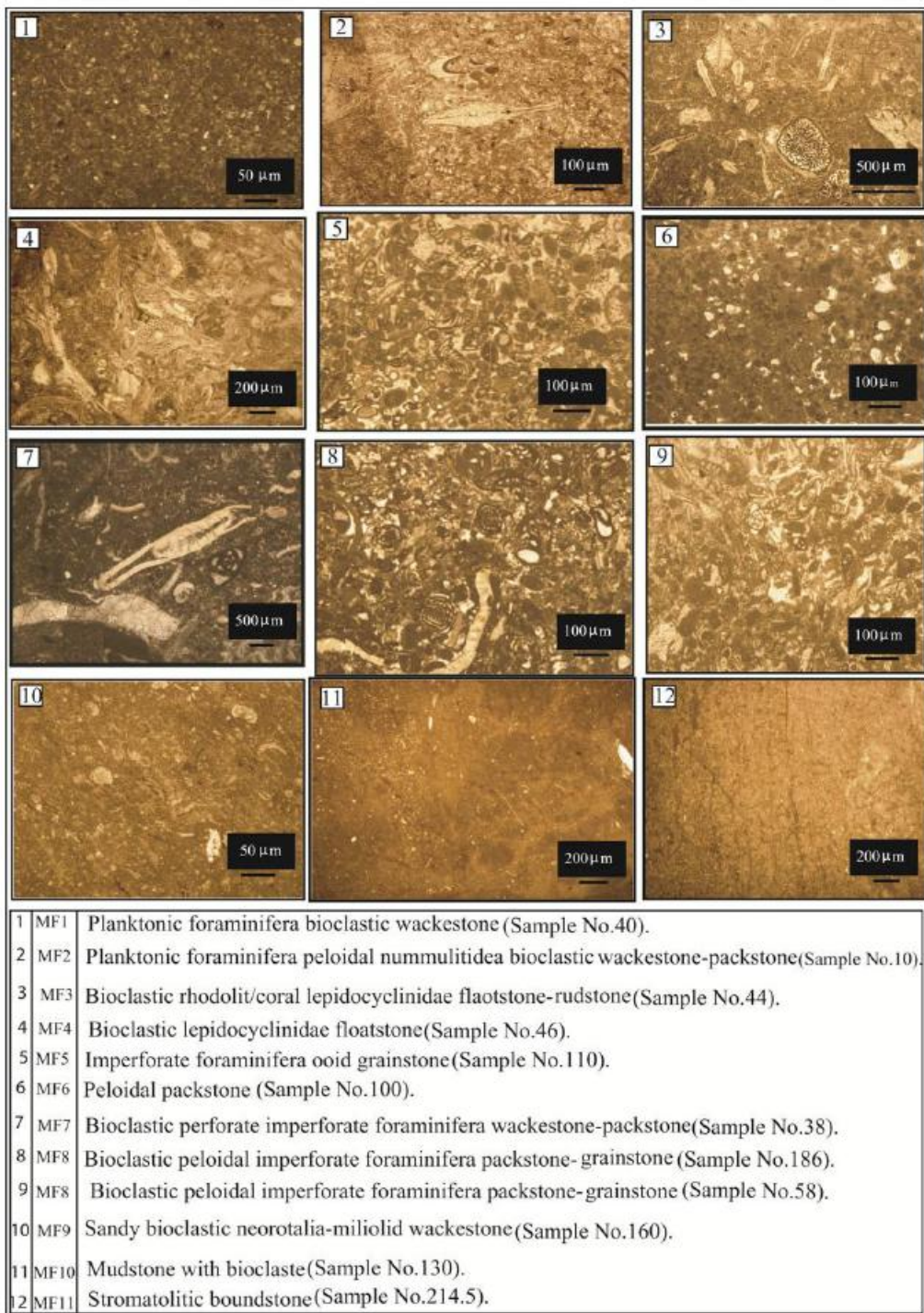
وکستون

دانه‌های اصلی تشکیل‌دهنده این ریزرساره شامل روزن‌داران پلانکتون (Globigerina, Globorotalia) (۱۰-۱۵ درصد) و بایوکلاست‌ها شامل دیتروپا، خردۀ‌های اکینید، پریوزوئر و نرم‌تان (۳۰-۲۰ درصد) می‌باشد. یافت این ریزرساره گل پشتیبان و از نوع وکستون است (شکل ۳-۱). بایوکلاست‌های اصلی درشت و شکسته شده و در زمینه‌ای از بایوکلاست‌های ریز و خرد شده قرار گرفته‌اند. حضور روزن‌داران پلانکتون و نیود روزن‌داران کفزی هم (Lepidocyclina و Nummulitidae) بیانگر جایگاه این ریزرساره در زیر زون نوری می‌باشد [۱۹]. حضور روزن‌داران پلانکتون، یافت ریز دانه و عدم ساخت رسوبی گویای این است که این ریزرساره در محیط آبهای آرام و عمیق و در شوری عادی دریابی نهشته شده است [۲۳ و ۲۴]. مشابه این ریزرساره از رسوبات قاعده سازند آسماری مریوط به یخشی عمیق دریایی باز در شمال و شمال شرقی لالی [۴۳]، در تا ناحیه چمن بلبل [۹]، در شمال غرب حوضه زاگرس [۴۴] و در طاقدیس خویز [۳۵] گزارش شده است.

ریزد خساره ۲: پلانکتونیک فرامینیفرا پلوئیدال

نومولیتیده بایوکلاستیک وکستون/پکستون

دانه‌های اصلی شامل روزن‌داران پلانکتون (۵ درصد)، اپرکولینا (Operculina) (۸ درصد) اسپیروکلیپتوس (Spiroclypeus) (۱۵ درصد)، پلوئید (۸ درصد) و بایوکلاست‌ها شامل خردۀ‌های اکینید، پریوزوئر و نرم‌تان (۳۰-۲۵ درصد) می‌باشد. متن این ریزرساره میکرایت و یافت آن از گل پشتیبان تا دانه‌پشتیبان متغیر است (شکل ۳-۲). روزن‌داران کفزی هم‌زیست‌دار با صدقی بزرگ در زمینه‌ای از بایوکلاست‌های خرد شده قرار گرفته‌اند. حضور هم زمان روزن‌داران پلانکتون و روزن‌داران کفزی هم‌زیست‌دار بیانگر آخرین یخشی زون نوری، شرایط نوری الیگوفوتیک می‌باشد. در این شرایط به علت



شکل ۳. ریز رخساره‌های سازند آسماری در پرش تاقدیس گوه سیاه

ریز رخساره ۵: فرامینی فرا (بدون منفذ) الید (۴۵) می‌باشد (شکل ۳-۵). دانه‌های الید از تشکیل دهنده‌گان اصلی این ریز رخساره است. الیدها از نوع مماسی بوده و از گردشیدگی نسبتاً خوبی برخوردار هستند. هسته بعضی الیدها میلیولید می‌باشد و برخی از الیدها هم میکریتی شده‌اند. حضور الیدها نشان‌دهنده محیط پر اسپرولینا (Spirolina) (۳۵ درصد) و دانه‌های الید (۴۰-

ریز رخساره ۵: فرامینی فرا (بدون منفذ) الید گربنستون دانه‌های اصلی شامل روزن‌داران (بدون منفذ) (پنروپلیس (Peneroplis)، دندربیتینا (Dendritina)، اسپرولینا (Spirolina) و دانه‌های الید (۴۰-

مشابه این ریزرساره از سازند آسماری در طاقدیس خویز [۳۵] و ناحیه فارس [۳۸] گزارش شده است.

ریزرساره ۶: بايوکلاست نئوروتالیا میلیولید و گستون ماسه‌ای

دانه‌های اصلی شامل نئوروتالیا (Neorotalia) (۱۰ درصد)، میلیولید (Miliolid) (۷ درصد) و بايوکلاست‌ها (۵ درصد) شامل خردۀ‌های اکینید، دیس‌کوربیس (Discorbis)، القیدیوم (Elphidium) و خردۀ‌های ترمتان می‌باشد (شکل ۱۰-۳). یافت سنگ، موقعیت چینه‌نگاری و تنوع کم فرامینی فرا حاکی از تشکیل این ریزرساره در محیط لاغون با چرخش محدود آب محدود می‌باشد [۲۴، ۴۵] و [۲۳] مشابه این ریزرساره از سازند آسماری در طاقدیس خویز [۳۵] و شمال‌غرب حوضه زاگرس [۴۴] گزارش شده است.

ریزرساره ۷: مادستون به همراه خردۀ‌های بايوکلاست

این ریزرساره آهک گلی است که فوتای محدودی (۸-۵ درصد) شامل میلیولید (Miliolid)، القیدیوم (Elphidium) و نئوروتالیا (Neorotalia) به صورت پراکنده در آن دیده می‌شود (شکل ۱۱-۳). تنوع و فراوانی کم فوتا نشانگر تمثیل این ریزرساره در لاغون تسبیتاً محصور (به سمت پهنه‌های چزیر و مدی) می‌باشد [۴۵ و ۳۶] مشابه این ریزرساره از تاقدیس خویز [۳۵] و تاقدیس دیل [۸] گزارش شده است.

ریزرساره ۱۱: استروماتولیت باندستون

این ریزرساره از لامینه‌های استروماتولیتی (۱۰۰ درصد) تشکیل شده که به صورت لایه‌های تیره و روشن می‌باشد (شکل ۱۲-۳). این ریزرساره در پهنه‌های چزیر و مدی تمثیل شده است [۲۳]. عدم وضوح لایه‌های تیره و روشن به دلیل تشکیل این ریزرساره در کمریند ۸ و زیست آشفتگی تاثیی از حضور گاستروپودها می‌باشد. مشابه این ریزرساره از سازند آسماری در ناحیه دهلران [۴۴] و ناحیه چمن بلبل [۹] گزارش شده است.

از روی است [۱۳]. با توجه به تیود گل آهکی و فراوانی زیاد دانه‌ها، نظریه این ریزرساره در یک محیط پر از روی سدی یا پشت‌های نهشته شده است [۴۵ و ۲۳]. مشابه این ریزرساره از میدان نفتی رگ سقید [۱۰] و شمال‌غرب حوضه زاگرس [۴۴] گزارش شده است.

ریزرساره ۶: پلوفید پکستون

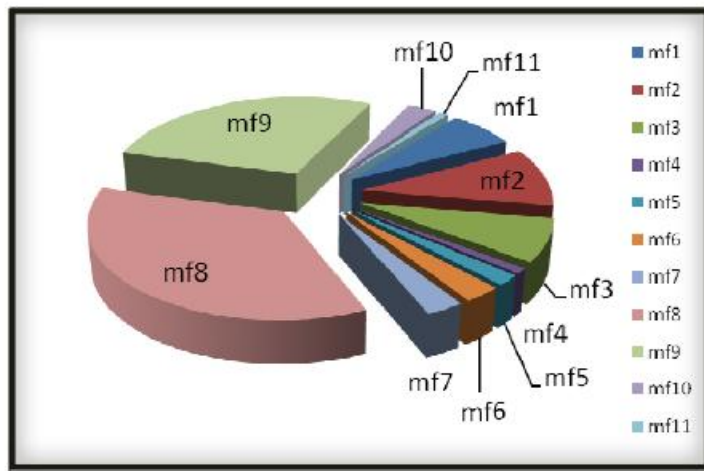
دانه‌های اصلی شامل اثیدهایی تا حدودی میکراتی شده و پلوفیدهای پاهامیت می‌باشد (شکل ۶-۳). حضور فراوان پلوفیدهایی از نوع پاهامیت حاکی از تشکیل آن‌ها در شلف لاغون می‌باشد [۲۲].

ریزرساره ۷: بايوکلاستیک فرامینی فرا (منفذدار و بدون منفذ) و گستون-پکستون

دانه‌های اصلی شامل روزن‌داران بدون منفذ مانند آسترودریلینا (Austrotrillina)، پرگو (Pyrgo) (۲۰-۱۵) روزن‌داران منفذدار (Lepidocyclina) و Nummulitidae (شکل ۳-۷). یافت این ریزرساره از گل‌پشتیبان تا دانه‌پشتیبان متغیر است. حضور هم زمان روزن‌داران یعنیک منفذدار و بدون منفذ به همراه مرجان و اکینید بیانگر لاغون باز [۴۰] و عدم وجود سد پیوسته می‌باشد. مشابه این ریزرساره از تاقدیس خویز [۳۵] و ناحیه فارس [۳۸] گزارش شده است.

ریزرساره ۸: بايوکلاستیک پلوفیدال فرامینی فر (بدون منفذ) پکستون-گرینستون اینتراکلاستدار

دانه‌های اصلی شامل روزن‌داران بدون منفذ (Peneroplis) و Miliolid، Borelis، Dendritina و (شکل ۳۰) (۳۰ درصد)، پلت (۷ درصد)، اینتراکلاست (۳۵ درصد) و بايوکلاست‌ها شامل خردۀ‌های اکینید (۵ درصد) می‌باشد (شکل ۸-۳ و ۹). یافت این ریزرساره پکستون تا گرینستون با تنوع بالای روزن‌داران بدون منفذ می‌باشد. ریزرساره‌های سکوی داخلی یا حضور فراوان روزن‌داران بدون منفذ کفزی مانند میلیولید، پورلیس، پتروپلیس مشخص می‌شود. ریزرساره‌های مشابه از شلف لاغون نیز گزارش شده است [۴۳، ۳۲ و ۱۸].



شکل ۴. تعداد فراوانی تسبیبی ریز خسارت‌ها در تاقدیس کوه سیاه

همراه خردۀ های بیوکلاست) است. اجزاء تشکیل دهنده این ریزرخساره‌ها در متئی میکرایتی و یا گاهی سیمان اسپاریتی قرار گرفته‌اند. اجزاء آلی اصلی این ریزرخساره‌ها شامل روزن‌داران کفزی با دیواره بدون منفذ نظیر Miliolids، Borelis، Dendritina، Peneroplis (Austrotrillina (Neorotalia)، Lepidocyclus، Nummulitidae مانند) می‌باشند. از اجزاء غیر آلی، پلوئید‌ها و اینترکلاست در ریزرخساره ۶ وجود دارند. پلوئید‌ها در ریزرخساره ۶ فراوان‌ترین دانه تشکیل دهنده می‌باشند. بیشتر آن‌ها دارای اندازه یکسانی هستند. شواهد موجود در این ریزرخساره‌ها از جمله زمینه میکرایتی، فراوانی روزن‌داران کفزی خاص محیط تالاب نظیر Dendritina، Miliolid (Borelis)، ریزرخساره‌های همراه و تطبیق آن‌ها با ریزرخساره‌های کمریند ریزرخساره‌ای شماره ۲ [۱۵]، پیانگر تنشست این ریزرخساره‌ها در محیط تالاب می‌باشد. [۴۵ و ۲۳]

اجزای ریزرساره ۷ به ریزرساره ۸ شبیه بوده اما تجمعات اسکلتی آن نسبت به ریزرساره ۸ متنوع‌تر و فراوان‌تر می‌باشد. تنوع روزن‌داران زی از تالاب باز به تالاب محدود شده کاهش پیدا می‌کند. با توجه به پیدایش همزمان روزن‌داران کفزی با دیواره بدون منفذ و روزن‌داران منقادار ریزرساره ۷ در یکی‌یک تالاب نزدیک بسته به شرایط منقاد است.^[۳۴]

شواهد موجود در ریزرساره مادستون بیوکلاستدار (ریزرساره ۱۰) یعنی درصد کم پایوکلاست، وجود

تفسیر دین، خسروها

مطالعه ریزرساره‌ها در بازسازی شرایط محیط قدیمه و تحلیل سکانس‌های رسوب، نقش، موشک، دارد.

بررسی مجموعه ریزرخساره‌های سازند آسماری در یال چنوبی تاقدیس کوه سیاه و مقایسه این مجموعه با گمرینده‌های ریزرخساره‌ای [۱۵] نشان می‌دهد که این ریزرخساره‌ها در پنج گروه محیطی تنشست شده‌اند که به ترتیب از ساحل په طرف حوضه عبارتند از:

گروه ۱- ریز رخساره بنه چز و مدی

ریزرسخساره (۱۱) استروماتولیت یاندستون معرف محیط پهنه چزرو مدي می پاشد. این ریزرسخساره به صورت تناوب لایه های تیره و روشن دیده می شود که لایه های تیره حاکی از فعالیت سیانوپاکتری ها است. شواهد موجود در این ریزرسخساره و تطابق آن ها با ریزرسخساره های استاندارد کمریند ریزرسخساره ای شماره ۹ ویلسون و فلوگل بیانگر ته نشست این ریزرسخساره در محیط پهنه چزرو مدي است [۶، ۲۷، ۳۹، ۴۰].

گروه ۲۵- مجموعه ریز رخساره‌های تالاب

این مجموعه شامل ریزرساره ۶ (پلوبید پکستون)، ریزرساره ۷ (بایوکلاستیک فرامینیقرا (منقدار و بدون منقد) و کستون-پکستون)، ریزرساره ۸ (بایوکلاستیک پلوبیدال فرامینیقرا (بدون منقد) پکستون-گرینستون اینتراکلاستدار)، ریزرساره ۹ (بایوکلاست نوروتالیا میلوبید و کستون ماسهای) و ریزرساره ۱۰ (مادستون به

به فراوانی دانه‌هایی با قطر بزرگ‌تر از ۲ میلی‌متر یافت سنگ فلوتستون-رودستون می‌باشد. وجود غالب جلیک قرمز کورالیناسه آ و روزن‌داران کفzی عدسی شکل و همراهی آن‌ها یا مرجان‌ها در این ریزرساره بیانگر رسوب‌گذاری آن در زون نوری الیگو فوتیک یا مزووقوتیک می‌باشد [۱۴، ۱۲، ۱۳، ۱۸، ۲۴ و ۳۳].

گروه ۵- ریزرساره‌های دریای باز (رمپ خارجی)
ریزرساره ۱ (پلانکتونیک فرامینی فرا پایوکلاستیک وکستون) معرف ژرف‌ترین یخشی دریایی باز است. وجود شواهدی از قبیل فراوانی روزن‌داران شناور (Globigerina) و Globorotalia و وجود زمینه میدرایتی تیره رنگ بیانگر تهنشست این ریزرساره‌ها در زیر سطح اساس امواج در شرایط طوفانی است. فقدان فونای هم‌زیست نشانگر نهشته شدن ریزرساره فوق در زیر منطقه تورانی است [۱۹].
تطابق این ریزرساره‌ها با ریزرساره‌های کمریند ریزرساره‌ای شماره ۸ [۱۵] نشان‌دهنده تهنشست آن‌ها در شرایط محیطی رمپ خارجی است.

مدل رسوبی

بررسی مجموعه ریزرساره‌های سازند آسماری در منطقه مورد مطالعه و مقایسه این مجموعه با کمریندهای ریزرساره‌ای [۱۵] نشان می‌دهد که این ریزرساره‌ها در پنج گروه محیطی و تحت شرایط رمپ کریناته تهنشست شده‌اند [۱۴ و ۲۳]. این مدل شامل یک دریایی باز و تالاب کم عمق است که توسط سد پایوکلاستی از یکدیگر جدا شده‌اند. ریزرساره پلانکتونیک فرامینی فرا پایوکلاستیک وکستون ژرف‌ترین ریزرساره موجود در سازند آسماری را تشکیل می‌دهد. یخشی‌های کم‌عمق‌تر دریایی باز با ریزرساره‌ای پایوکلاستیک رودولیت/کورال لپیدوسیکلینیده فلوتستون- روdestون و پایوکلاستیک لپیدوسیکلینیده روستون مشخص می‌گردد. این ریزرساره‌ای شده روستون سطح اساس امواج نهشته شده‌اند. ریزرساره فرامینی فرا (بدون منفذ) ائید گرینستون در محدوده سطح اساس امواج نهشته شده و سد سازند آسماری را در ناحیه مورد مطالعه تشکیل می‌دهد. وجود سیمان حاکی از آن است که گل کریناته در اثر افزایش ازروی از محیط شسته شده و فضای خالی توسط سیمان پر شده است. فراوانی روزن‌داران بدون منفذ نشانگر

میکریت، فقدان شواهد خروج از آب و موقعیت چینه‌نگاری حاکی از تهنشست این ریزرساره در تالاب به سمت ساحل است.

گروه ۶- ریزرساره سد یا باز

ریزرساره ۵ (فرامینی فرا (بدون منفذدار) ائید گرینستون) نشانگر محیط سد می‌باشد. اجزاء اصلی تشکیل‌دهنده این ریزرساره ائید و روزن‌داران بدون منفذ (Spirolina.Peneroplis) نوع مماسی است. هسته بعضی ائیدها میلیولید می‌باشد و برخی از ائیدها میکرایتی شده‌اند. اندازه ائیدها ۱/۵ تا ۱/۵ میلی‌متر متغیر است.

شواهدی از قبیل یافت سنگ (گرینستون)، چورشده‌گی خوب و گسترش سیمان نشانگر بالا بودن ازروی محیط در زمان تشکیل این ریزرساره است. مقایسه این ریزرساره با ریزرساره‌های کمریند ریزرساره‌ای شماره ۳ [۱۵] نشانگر تهنشست ریزرساره فوق در محیط سد یا باز است [۲۳ و ۴۵].

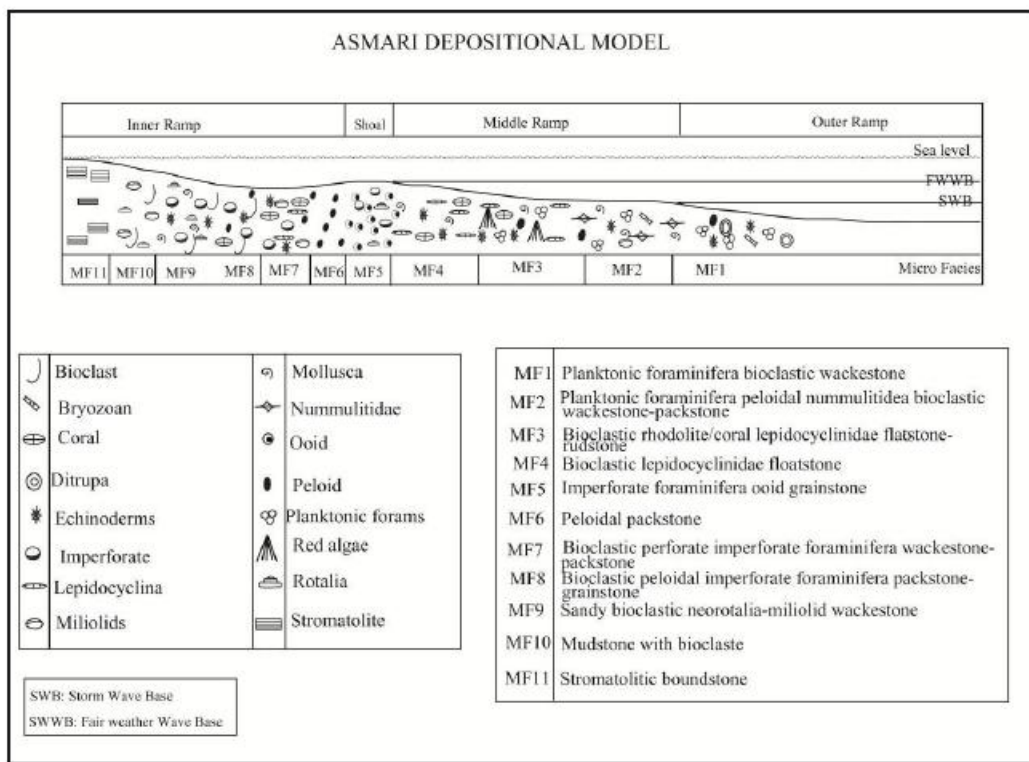
گروه ۷- مجموعه ریزرساره‌های دریای باز (رمپ میانی):

این مجموعه شامل ریزرساره ۲ (پلانکتونیک فرامینی فرا پلوئیدال نومولیت پایوکلاستیک وکستون/پیکستون)، ریزرساره ۳ (پایوکلاستیک رودولیت/کورال لپیدوسیکلینا فلوتستون- روdestون) و ریزرساره ۴ (پایوکلاستیک لپیدوسیکلینا روستون) می‌باشد. اجزاء اصلی این ریزرساره‌ها را خرده‌های اسکلتی اکینید، پریوزوئر، کورالیناسه آ و روزن‌داران کفzی با دیواره منفذدار نظری Lepidocyclusidae (Nummulitidae) تشکیل می‌دهند. شواهد موجود در این گروه ریزرساره‌ها از قبیل مشخصات فونی و علاوه بر این تطابق با ریزرساره‌های کمریندهای ریزرساره‌ای شماره ۵ و ۶ [۱۵]، بیانگر تهنشست این ریزرساره‌ها در محیط دریایی باز و در محدوده بالای سطح اساس امواج طوفانی و زیر سطح اساس امواج عادی است که به رمپ میانی نسبت داده می‌شود. ریزرساره ۲ با مخلوط روزن‌داران کفzی با دیواره منفذدار و روزن‌داران شناور حاکی از تهنشست رسوبات در زیر محیط دامنه بین سطح اساس امواج در شرایط عادی و شرایط طوفانی است و معرف عمیق‌ترین یخشی انتهایی رمپ میانی است. در ریزرساره ۳ با توجه

رمپ میانی و داخلی متغیر بوده است. ولی پیش تر شرایط رمپ داخلی در این منطقه حکم‌فرما بوده است. در طی الیگومن در این منطقه شرایط رمپ خارجی حکم‌فرما بوده است که طی آن آسماری تھاتی تهنشست پیدا کرده است. به تدریج با کم عمق شدن حوضه در طی میوسن رسوبات بخش داخلی که گاهی به رمپ میانی تغییر می‌کرده تشکیل شده‌اند. در نهایت در اواخر پوریدگالین با خارج شدن دائمی این رمپ کریشهای از زیر آب رسوب‌گذاری سازند آسماری به پایان می‌رسد و رسوب‌گذاری نهشته‌های تیخوری سازند گچساران آغاز می‌گردد (شکل ۵).

رسوب‌گذاری در محیط تالاب است. بر اساس نوع تجمعات اسکلتی تالاب قابل تقسیم به تالاب محصور و نیمه محصور است. تالاب نیمه محصور با پیدایش همزمان روزن داران کفزی منقدار و بدون منفذ مشخص می‌گردد. مشخصات فونا حاکی از رسوب‌گذاری در آب‌های کم عمق، یوقوتیک و شرایط کم اثری است [۱۴].

تلااب محصور با تنوع کم روزن داران کفزی و فراوانی روزن داران کفزی بدون منفذ مشخص می شود. استروماتولیت پاندستون معرف ریزرخساره پهنه جزو مددی است. در زمان تهشیست این ریزرخساره ها یعنی الیگومن تا میوسن شرایط محیطی از رمپ خارجی تا



شکل ۵. مدل رسمی سازند آسماری در پیش مورد مطالعه

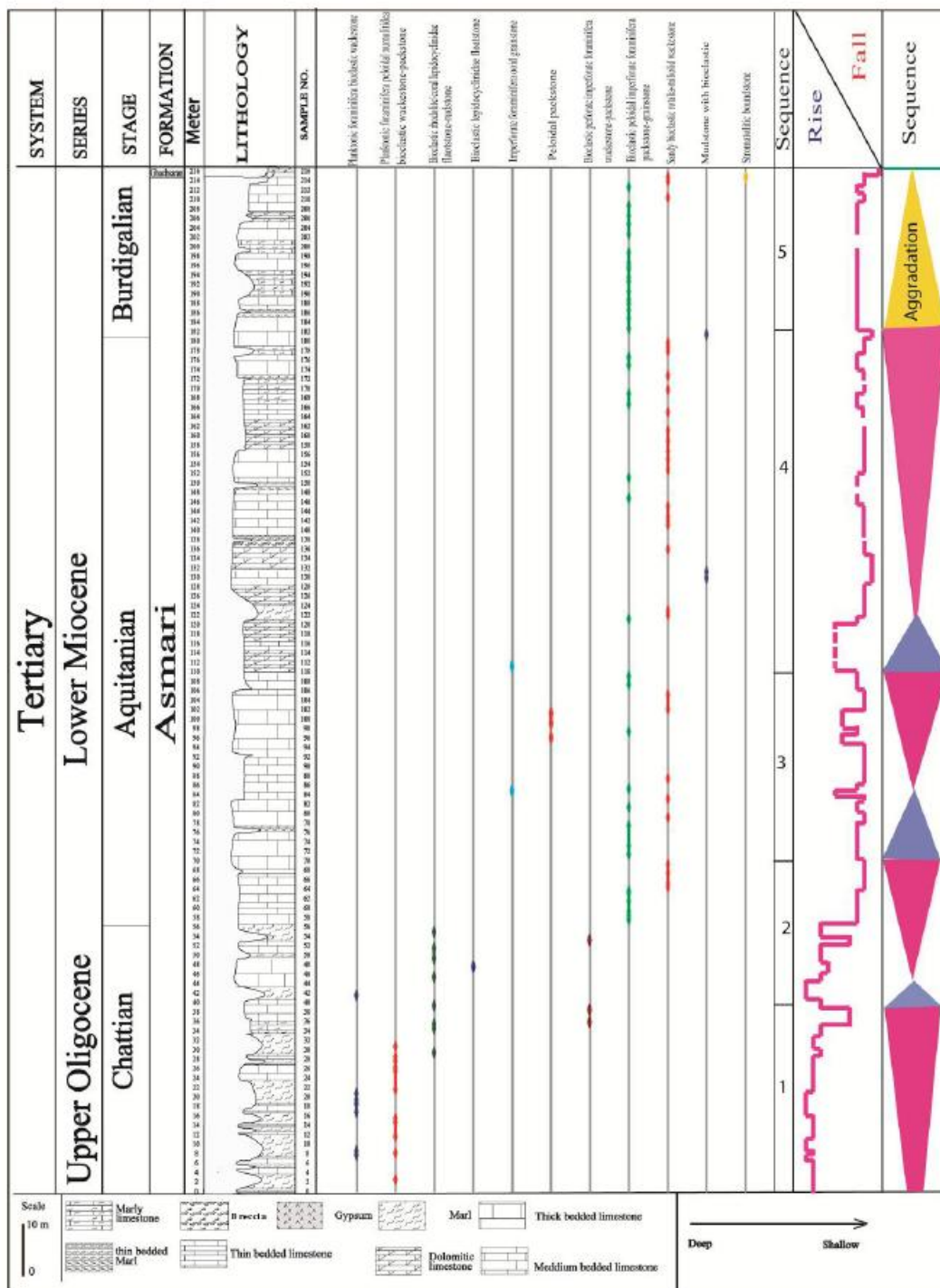
نایپوستگی‌ها و یا پیوستگی‌های قابل تطبیق با نایپوستگی‌ها توصیف می‌شوند [۱۶] رسوبات حفظ شده بین مرزهای سکانسی نشانگر الگوهایی از پیشروی، انبیاشتگی و پیش نشینی بوده و بازتابی از تغییرات سطح آب دریا هستند [۱۷].

بر اساس تغییرات عمودی ریزرخساره‌ها، چرخه‌های رسوبی و الگوی انبیاشتگی ریزرخساره‌ها، به ۵ سکانس رسوبی، تقسیم شده است (شکل ۶).

حینه نگار، سکانس

چینه‌نگاری سکاتسی علمی است که به تشخیص و تطبیق سطوح چندهایی که تغییرات روند رسوب‌گذاری سنگ‌های رسوبی را نشان می‌دهد، می‌پردازد که این تغییرات ناشی از تاثیر رسوب‌گذاری، فرسایش و تغییرات سطح آب جهانی است [۱۶]. مرزهای سکاتسی (SB) کلیدی برای تعیین سکاتسی‌های رسوبی، درجه سوم هستند و به صورت

Sequence Boundaries



شکل ۶. ریز خسارت‌ها، تغییرات سطح آپ و سکانس رسویی سازند آسماری در بال جنوبی تاقدیس کوه سیاه

این سکانس شامل رسوبات مارنی سازند پایده و سنگ آهک‌های آسماری تختانی است. با پیشروی و بالا آمدن سطح آب دریا در الیگوسن، شیل‌های پلازویک سازند پایده، حاوی روزن‌داران شناور نظیر گلوبیوپرینا و گلوبوروتالیا نهشته گردیده‌اند، این بخش از توالی به دسته

سکانس دسویی اول

این سکاتس درون بیوزون *Lepidocyclina-Operculina-* قرار دارد که بر اساس مطالعات ون بوخم و همکاران (۲۰۱۰) بن شاتین را نهان می‌دهد.

پکستون - گرینستون) نهشته شده و معرف دسته رسوبی (HST) می‌باشدند. ریزرساره ۹ (بایوکلاستیک نوروتالیا- میلیولیدا وکستون ماسه‌ای) که بخش پایانی سکانس دوم را تشکیل می‌دهد بیانگر پائین افتادن سطح نسبی آب دریا و مرز سکانس نوع دوم (SB₂) است.

سکانس رسوبی سوم

این سکانس نمود در طی اکیتائین درون بیوزون *Peneroplis farsensis*, *Miogypsina* sp., *Elphidium* sp.14 نهشته شده است.

رسوبات پیشرونده این سکانس از ریزرساره تالاب، ریزرساره ۸ (بایوکلاستیک پلوئیدال فرامینیفرا (بدون منفذ) پکستون - گرینستون) تشکیل شده است. بیشترین پیشروی سطح آب دریا (mfs) با ریزرساره ۵ (فرامینیفرا (بدون منفذ) اوئید گرینستون) مشخص می‌گردد. ریزرساره‌های بخش پایداری سطح آب دریا (HST) از ریزرساره‌های رمپ داخلی، ریزرساره‌های ۶ (پلوئیدال پکستون) و ۸ (بایوکلاست پلوئیدال فرامینیفرا (بدون منفذ) پکستون - گرینستون) تشکیل شده است. ریزرساره ۹ (بایوکلاستیک نوروتالیا- میلیولیدا وکستون ماسه‌ای) بخش پایانی سکانس سوم را تشکیل داده و بیانگر پائین افتادن سطح نسبی آب دریا و مرز سکانسی نوع دوم (SB₂) است.

سکانس رسوبی چهارم

این سکانس در فاصله ۱۰۹ تا ۱۸۰/۵ متری به ضخامت ۷۱/۵ متر می‌باشد. بر اساس بیوزون *Peneroplis farsensis*, *Miogypsina* sp., *Elphidium* sp.14 اکیتائین است. دسته رسوبی پیشرونده این سکانس (TST) شامل ریزرساره ۸ (بایوکلاستیک پلوئیدال فرامینیفرا (بدون منفذ) پکستون - گرینستون) است. ریزرساره ۵ (فرامینیفرا (بدون منفذ) اوئید گرینستون) معرف سطح حداکثر پیشروی سطح آب دریا می‌باشد. با پر شدن حوضه از رسوبات و کم شدن فضای قابل رسوب‌گذاری دسته رسوبی (HST) این سکانس مشکل از ریزرساره‌های ۸ (بایوکلاستیک پلوئیدال فرامینیفرا (بدون منفذ) پکستون - گرینستون) و ریزرساره ۹ (بایوکلاستیک نوروتالیا میلیولیدا وکستون ماسه‌ای) نهشته گردید. ریزرساره

ریزرساره‌ای (^۱TST) نسبت داده شده‌اند. ریزرساره‌های بخش پایداری سطح آب دریا (^۲HST) به عنوان دومین فاز رسوبی بر روی سطح حداکثر طغیان آب دریا (^۳mfs) قرار می‌گیرد. سطح حداکثر طغیان آب دریا با مارن‌ها و آهک‌های مارنی بخش انتهایی پایده، حاوی روزن‌داران شناور مشخص می‌گردد. ریزرساره ۲ (پلانکتونیک فرامینیفرا پلوئیدال نومولیتیده بایوکلاستیک وکستون - پکستون) و ریزرساره ۳ (بایوکلاستیک رودولیت / کورال لپیدوسیکلینیده فلوتسون / رودستون) معرف فاز رسوبی سکون نسبی آب دریا (HST) می‌باشدند. با حداکثر پیشروی آب دریا و کاهش فضای رسوب‌گذاری در این سکانس ریزرساره ۷ (بایوکلاستیک فرامینیفرا (منفذ دار و بدون منفذ) وکستون-پکستون) نهشته شده و معرف مرز سکانسی نوع ۲ می‌باشد.

سکانس رسوبی دوم

این سکانس درون بیوزون *Peneroplis farsensis*, *Miogypsina* sp., *Elphidium* sp.14 ۲۰۱۰ () سن اکیتائین را نشان می‌دهد. ضخامت این سکانس ۳۰ متر می‌باشد. رسوبات این سکانس با پیشروی مجدد دریا و تهنشست کربنات‌های دریایی باز، ریزرساره ۳ (بایوکلاستیک رودولیت / کورال لپیدوسیکلینیده فلوتسون - رودستون) شروع شده و مجموعه ریزرساره‌ای پیشرونده (TST) را تشکیل می‌دهد. بیشترین پیشروی سطح آب دریا (mfs) با ریزرساره ۱ (پلانکتونیک فرامینیفرا بایوکلاستیک وکستون) مشخص می‌گردد. پس از این مرحله و بعد از حداکثر پیشروی، آهنج بالا آمدن سطح آب کند می‌شود و رسوبات آهکی در بخش‌های ابتدایی رمپ میانی و رمپ داخلی نهشته شده‌اند. با هر شدن تدریجی حوضه از رسوبات و کم شدن فضای قابل رسوب‌گذاری ریزرساره‌های کم عمق شونده مشکل از ریزرساره‌های ۳ (بایوکلاستیک رودولیت / کورال لپیدوسیکلینیده فلوتسون - رودستون)، ریزرساره ۴ (بایوکلاستیک لپیدو سیکلینیده فلوتسون)، ریزرساره ۷ (بایوکلاستیک فرامینیفرا (منفذ دار و بدون منفذ) وکستون پکستون) و ریزرساره ۸ (بایوکلاستیک پلوئیدال فرامینیفرا (منفذ دار)

¹Transgressive System Tract

²Highstand System Trac

³Maximum flooding surfaces

تنگ بی بی نرجس، تنگ پند، تنگ نایاب، چاه ۱۹ پارسی و تنگ بولفارس [۱] شکل (۷) با سکانس‌های [۴۲] و [۲۱] مقایسه شده و نتایج زیر به دست آمده است (شکل ۸).

سکانس ۱ به سن شاتین با سکانس III [۴۲] و سکانس Ch30 SB [۲۱] قابل تطابق می‌باشد. این سکانس در همه برش‌ها دیده می‌شود. مرز فوکاتی این سکانس در برش‌های نایاب، بولفارس و پارسی ۱۹ با ایندریت قاعده سازنده آسماری و در تنگ بی بی نرجس با استروماتولیت، در تنگ پند با سطح فرسایشی [۱] و در تاقدیس کوه سیاه با ریزرخساره ۷ (پایوکلاست فرامینیفرا (منقذدار و بدون منفذ) وکستون - پکستون) مشخص می‌شود. توالی این سکانس در تنگ بی بی نرجس در رمپ میانی و داخلی سکانس در تنگ بی بی نرجس در پرش تاقدیس کوه سیاه نهشته شده است. این سکانس در پرش تاقدیس کوه سیاه دسته رسوبی (HST) را شامل شده و رسوب‌گذاری آن در شلف خارجی، میانی و داخلی صورت گرفته است. ضخامت این سکانس از سمت جنوب شرق به سمت شمال غرب کاهش پیدا می‌کند.

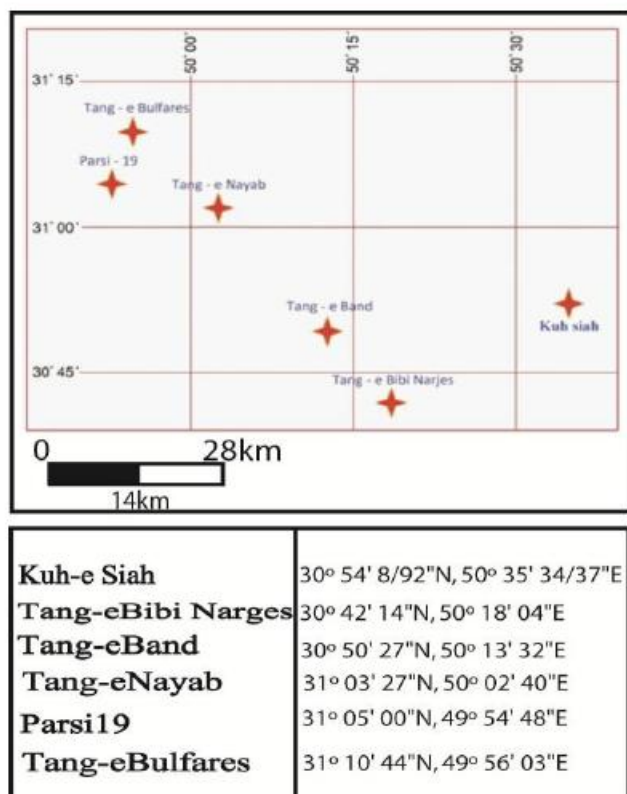
مادستون پایوکلاست‌دار نشانگر پائین آمدن ناگهانی سطح نسبی آب دریا و تشکیل مرز سکانس نوع دوم (SB₂) است.

سکانس رسوبی پنجم

این سکانس درون بیوزون *Borelis melocurdica*, *Meandropsina iranica* ون بوخم و همکاران (۲۰۱۰) سن بوردیگالین را نشان می‌دهد. ضخامت این سکانس ۳۲/۱ متر در است. سکانس فوق با پیشروی مجدد دریا و انباشتگی عمودی ریزرخساره‌های لاغون مشخص می‌گردد. شواهد سنگ‌شناختی و ریزرخساره‌ای مشخصی که نشانگر عمیق شدنی یا کم عمق شدنی به سمت بالا باشد، در این سکانس مشاهده نمی‌شود. پشاپراین نمی‌توان ریزرخساره‌های متعلق به (TST) و (HST) را از یکدیگر تفکیک نمود.

تطابق سکانس‌ها

در این بخش سکانس‌های تشخیص داده شده در برش مورد مطالعه (بال چنوبی تاقدیس کوه سیاه) و برش‌های



شکل ۷. موقعیت مکانی تطابق داده شده سازند آسماری در برش کوه سیاه در زون ایذه، تنگ بی بی نرجس، تنگ پند، تنگ نایاب، تنگ بولفارس در زون ایذه و چاه پارسی ۱۹ در فروافتادگی دزفول [۱].

این سکانس در همه پرش‌ها دیده شده است و مرز زیرین آن اندکی پیش از ظهور *Borealis melocurdica* می‌باشد و مرز فوقاتی آن با اندیزیت سازند گچساران مشخص می‌شود. در تمامی پرش‌ها در زمان تهذیب این سکانس شرایط رسوب‌گذاری یکسانی وجود داشته و مشکل از ریزرساره‌های تالاب می‌باشد. ضخامت این سکانس از جهت جنوب‌شرق به سمت شمال‌شرق افزوده گردیده به طوری که در تنگ بی بی ترجیس کمترین ضخامت و در تنگ بولفارس بیشترین ضخامت را دارد.

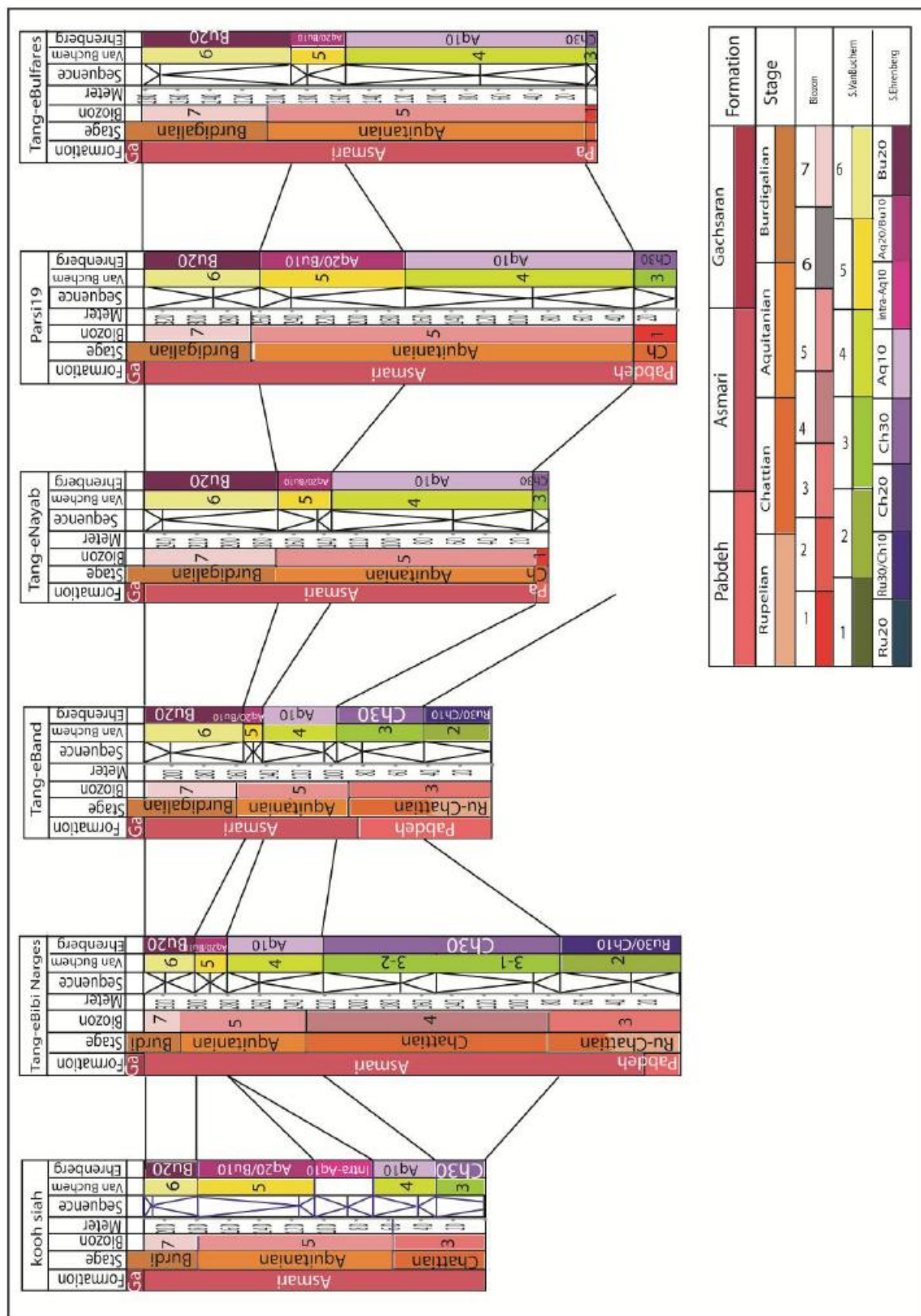
این روند با مطالعات [۴۲] مطابقت دارد. بر اساس نتایج آن‌ها در زمان پوردیگالین در اثر پدیده کچشیدگی (Tilting) حوضه رسوبی آسماری به سمت شمال حوضه نواحی ایده و کتولا) عمیق و به سمت جنوب (کوه میش و خامی) کم عمق شده است.

نتیجه‌گیری

پرسی ریزرساره‌ها حاکی از آن است توالی سازند آسماری در پرش مورد مطالعه در یک پلاتفرم کریناته از نوع رمپ و در چهار کمریند ریزرساره‌ای پهنه‌چزرمدی، تالاب، سد و دریای باز تهشیت شده است. بر اساس الگوی عمیق شیدگی، کم عمق شیدگی و پخش و گسترش وزن‌داران پنج سکانس رسوبی رده سوم تشخیص داده شده است. این سکانس‌ها با سکانس‌های تشخیص داده شده در سایر نواحی زاگرس مطابقت نسبی دارد.

سکانس ۲ به سن آکیتائین با سکانس IV [۴۲] و سکانس ۱۰ SB Aq 10 [۲۱] مطابقت دارد. این سکانس در هر ۶ پرش دیده شده است. مرز پایینی این سکانس در پرش‌های تایاب، پارسی ۱۹ و بولفارس اندیزیت قاعده آسماری، در تنگ بی بی ترجیس استرماтолیت، در تنگ بند سطح فرسایشی [۱] و در تاقدیس کوه سیاه با ریزرساره ۷ از شلف درونی مشخص می‌شود. بیشترین بالا آمدگی نسبی سطح آب دریا (mfs) این سکانس در تنگ تایاب، بولفارس، ۱۹ پارسی و تاقدیس کوه سیاه با گسترش فرامینی فرهای پلانکتونیک، در تنگ بند با ریزرساره گرینستون فاورینا و در تنگ بی بی ترجیس با ریزرساره پکستون - گرینستون آئیدی مشخص می‌شود. مرز بالایی این سکانس در پرش‌های تنگ بی بی ترجیس، بند و تایاب با سطح پرشی و در تنگ بولفارس با مادستون لامینه‌دار و در چاه پارسی ۱۹ با ریزرساره مادستون [۱] و در تاقدیس کوه سیاه با ریزرساره کم عمق بایوکلاستیک تئوروتالیا میلولیدا وکستون ماسه‌ای از شلف درونی (ریزرساره ۹) مشخص می‌شود.

سکانس ۳ با سکانس Intra-Aq10 [۲۱] به سن آکیتائین قابل تعابیق یوده و معادلی با سکانس‌های [۴۲] ندارد. این سکانس تنها در پرش تاقدیس کوه سیاه دیده شده است. سکانس ۴ معادل با سکانس V [۴۲] و سکانس Aq20/Bu10SB [۲۱] به سن آکیتائین پسین می‌باشد. مرز زیرین این سکانس در پرش‌های تنگ بی بی ترجیس، بند و تایاب با سطح پرشی، در تنگ بولفارس با مادستون لامینه‌دار، در چاه پارسی ۱۹ با ریزرساره مادستون [۱] و در تاقدیس کوه سیاه با ریزرساره کم عمق (بایوکلاستیک تئوروتالیا میلولیدا وکستون ماسه‌ای) مشخص می‌شود. مرز فوقاتی این سکانس در تاقدیس کوه سیاه با ریزرساره کم عمق (مادستون به همراه خردکهای بایوکلاست) و در دیگر پرش‌ها با روند کم عمق شیدگی ریزرساره‌ها که به ریزرساره مادستونی ختم می‌شود شناسایی شده است. با مقایسه این سکانس در همه‌ی پرش‌ها مشخص می‌شود که در زمان آکیتائین پسین شرایط رسوب‌گذاری یکسانی در نواحی مختلف وجود داشته است. ریزرساره‌های تشکیل‌دهنده این سکانس در همه‌ی پرش‌ها از ریزرساره‌های تالاب تشکیل شده‌اند. سکانس ۵ با سکانس VI [۴۲] و سکانس Bu2o SB [۲۱] به سن پوردیگالین قابل تعابیق می‌باشد.



شکل ۸. تطابق عرضی سکانس‌های سازند آسماری در برش مورد مطالعه با برش‌های تنگ بی بی ترجیس، تنگ پند، تنگ تایاب، چاه پارسی و تنگ بولفارس [۱۹]

جدول ۱. ریزرساره‌های شناسایی شده در سازند آسماری در پرش مورد مطالعه

ردیف	اسمی ریزرساره	محیط تشکیل
۱	پلانکتونیک فرامینیفرایا بیوکلاستیکوکستون	رمپ خارجی
۲	پلانکتونیک فرامینیفرایا پلوفیدال نومولیتید بایوکلاستیک وکستون ایکستون	محیط دور رمپ میانی
۳	بایوکلاستیک روکولیت هرجان لپیدوسیکلینا فلوتسنون روکستون	محیط میانی رمپ میانی
۴	بایوکلاستیکلپیدوسیکلینا روکستون	محیط نزدیک رمپ میانی
۵	فرامینیفرایا (بدون منفذ) الیک گرینستون	محیط بد
۶	پلوفید پکستون	لاکون باز
۷	بایوکلاستیک فرامینیفرایا (منفذ دار و بدون منفذ) وکستون پکستون	لاکون نیمه محصور
۸	بایوکلاستیک پلوفیدال فرامینیفرایا (بدون منفذ) پکستون گرینستون اینترکلاست دار	لاکون محصور
۹	بایوکلاست نثوروتالیا میلیولید وکستون ماسه ای	بخش انتهایی لاکون محصور
۱۰	مادستون به همراه خرده‌های بیوکلاست	محیط داخلی پلت فرم نزدیک ساحل
۱۱	استروماتولیت باندستون	پهنه جزر و مدی

- [9] Amirshahkarami, M., Vaziri-Moghaddam, H. and Taheri, A (2007) Sedimentary facies and Sequence stratigraphy of the Asmari Formation at the Chaman-Bolbol, Zagros Basin, Iran, Journal of Asian Earth Science.v. 29p. 947-959.
- [10] Amirshahkarami, M., Ghabishavi, A. and Rahmani, A (2010) Biostratigraphy and Paleoenvironment of the larger benthic foraminifera in wells section of the Asmari Formation from Rag-e-Safid oil field, Zagros Basin, southwest Iran, Stratigraphy and Sedimentology Researches.v. 40p. 63-84.
- [11] Barattolo, F., Bassi, D. and Romero, R (2007) Upper Eocene larger foraminiferal-coralline algal facies from the Klokova Mountain, south continental Greece. Facies, 53, 361-375.
- [12] Beavington-Penney, S.J. and Racey, A (2004) Ecology of extant nummulitids and other larger benthic foraminifera, applications in palaeoenvironmental analysis. Earth-Science Reviews, 67, 219-265.
- [13] Brandano, M., Corda, L (2002) Nutrients, sea level and tectonics: constraints for the facies architecture of a Miocene carbonate ramp in central Italy, Terra Nova.v. 14p. 257-262.
- [14] Burchette, T.P. Wright, V.P (1992) Carbonate ramp depositional systems, Sedimentary Geology.v. 79p. 3-57.
- [15] Buxton, M.W.N., Pedley, H.M (1989) A standardized model for Thethyan Tertiary carbonate ramps, London, Journal of the Geological Society.v. 146p. 746-748.
- [16] Catuneanu, O., Abreu, V. Bhattacharya, J.P. Blum, M.D. Dalrymple, R.W. Eriksson, P.G. Fielding, C.R. Fisher, W.L. Galloway, W.E. Gibling, M.R. Giles, K.A. Holbrook, J.M. Jordan, R. Kendall, C.G.S.C. Macurda, B. Martinsen, O.J. Miall, A.D. Neal, J.E.

منابع

- [۱] رحمانی، ع (۱۳۹۰) چینه‌شناسی سازند آسماری در تالقانیس‌های بنگستان و خویز و میدان نفتی پارسی، رساله‌ی دکتری چینه‌شناسی و فسیل‌شناسی، دانشگاه اصفهان، ۲۱۰ ص.
- [۲] کلنات، ب.، وزیری‌مقدم، ح. طاهری، ع (۱۳۸۹) زیست چینه نگاری و پالکواکلوزی سازند آسماری در جنوب غرب فیروز آباد. ریزرساره‌های رسوبی، جلد ۳، صفحه ۸۴-۲۱.
- [۳] مطیعی، ه (۱۳۷۲) زمین‌شناسی ایران، چینه‌شناسی زاگرس، انتشارات سازمان زمین‌شناسی کشور، ۵۳۶ ص.
- [۴] مؤسسه‌ی جغرافیایی، کارت‌توگرافی گیلان‌شناسی (۱۳۸۴) اطلس راه‌های ایران، مقیاس ۱:۱۰۰۰۰۰.
- [۵] Adams, T.D., Bourgeois, F (1967) Asmari biostratigraphy, Geological and Exploration, Iranian Offshore Oil Company Report. no. 1074, (unpublished).
- [۶] Aguilera-Franco, N., Hernández-Romano, U (2004) Cenomanian-Turonian facies succession in the Guerrero-Morelos Basin, Southern Mexico, Sedimentary Geology, v. 170 p. 135-162.
- [۷] Allahkarampour Dill, M., Seyrafian, A. and Vaziri-Moghaddam, H (2010) The Asmari Formation, north of the Gachsaran (Dill anticline), southwest Iran: facies analysis, depositional environments and sequence stratigraphy, Carbonates and Evaporites.v. 25 p. 145-160.
- [۸] Allahkarampour Dill, M., Seyrafian, A. and Vaziri-Moghaddam, H (2012) Palaeoecology of the Oligocene-Miocene Asmari Formation in the Dill Anticline, Zagros Basin, Iran, Neues. Jahrbuch für geologie und paläontologie. V. 263 p. 167-184.

- Cenomanian-Turonian of the Guerrero-Morelos platform, southern Mexico, United Kingdom, University of Reading, Postgraduate Research Institute for Sedimentology, Ph.D, Thesis, 322p.
- [28] Hottinger, L (1997) Shallow benthic foraminiferal assemblages as signals for depth of their deposition and their limitations, *Geology France*.v. 168 p. 491–505.
- [29] James, G.A. Wynd, J.G (1965) Stratigraphic nomenclature of Iranian Oil Consortium Agreement Area, AAPG Bulletin.v. 49 p. 2182-2245.
- [30] Lasemi, Y (1995) Platform carbonates of the Upper Jurassic Mozduran Formation in the KopehDagh Basin, NE Iran-facies, palaeoenvironments and sequences, *Sedimentary Geology*. v. 99 p. 151-164.
- [31] Mossadegh, Z.K., Haig, D.W., Allan, T., Adabi, M.H. and Sadeghi, A (2009) Salinity changes during Late Oligocene to Early Miocene Asmari Formation deposition, Zagros Mountains,Iran, *Palaeogeography, Palaeoclimatology, Palaeoecology*.v. 272 p.17 36.
- [32] Nebelsick, J.H., Rasswe, M. and Bassi, D (2005) Facies dynamic in Eocene to Oligocene Circumalpine carbonates, *Facies*. v. 51 p. 197–216.
- [33] Pomar, L (2001a) Types of carbonate platforms: a genetic approach, *Basin Research*.v.13 p. 313-334.
- [34] Pomar, L (2001b) Ecological control of sedimentary accommodation, evolution from a carbonate ramp to rimmed shelf, Upper Miocene, Balearic Islands, *Palaeogeography, Palaeoclimatology, Palaeoecology*. v. 175 p. 249-272.
- [35] Rahmani, A., Vaziri-Moghaddam, H., Taheri, A. and Ghabeishavi, A (2009) A model for the paleoenvironmental distribution of larger foraminifera of Oligocene-Miocene carbonate rocks at Khaviz Anticline, Zagros Basin, SW Iran, *Historical Biology*. V. 21 p. 215-227.
- [36] Rasser, M., Scheibner, C. and Mutti, M (2005) A paleoenvironmental standard section for Early Ilerdian tropical carbonate factories, (Corbieres, France; Pyrenees, Spain): *Facies*. v. 51 p. 218-232.
- [37] 37-Reiss, Z. Hottinger, L (1948) The Gulf of Aqaba: ecological micropaleontology, Springer, Berlin Heidelberg New York, 345p.
- [38] Sadeghi R., Vaziri-Moghaddam, H. and Taheri, A(2010) Microfacies and sedimentary environment of the Oligocene sequence (Asmari Formation) in Fars sub-basin, Zagros Mountains, southwest Iran, Springer-Verlag. v. 57 p. 431-446.
- [39] Steinhauff, D.M., and Walker, K.R (1996) Sequence stratigraphy of an apparently non-
- Nummedal, D. Pomar, L. Posamentier, H.W. Pratt, B.R. Sarg, J.F. Shanley, K.W. Steel, R.J. Strasser, A. Tucker, M.E. and Winker, C (2009) Towards the standardization of sequence stratigraphy, *Earth-Science Reviews*.v. 92p. 1-33.
- [17] Catuneanu, O., Bhattacharya, J.P. Blum, M.D. Dalrymple, R.W. Eriksson, P.G. Fielding, C.R. Fisher, W.L. Galloway, W.E. Gianolla, P. Gibling, M.R. Giles, K.A. Holbrook, J.M. Jordan, R. Kendall, C.G.S.C. Macurda, B. Martinsen, O.J. Miall, A.D. Neal, J.E. Nummedal, D. Pomar, L. Posamentier, H.W. Pratt, B.R. Shanley, K.W. Steel, R.J. Strasser, A. and Tucker, M.E (2010) Sequence stratigraphy: common ground after three decades of development, *Stratigraphy*.v. 28 p. 21-33.
- [18] Corda, L., Brandana, M (2003) Aphotic zone carbonate production on a Miocene ramp, Central Apennines, Italy, *Sedimentary Geology*.v. 161 p. 55-70.
- [19] Cosovic, V., Drobne, K. and Moro, A (2004) Paleoenvironmental model for Eocene foraminiferal limestones of the Adriatic carbonate platform, Istrian Peninsula, *Facies*.v. 50 p. 61-75.
- [20] Dunham, R.J (1962) Classification of carbonate rocks according to their depositional texture, AAPG Memoir.v. 1p. 108-121.
- [21] Ehrenberg, S.N., Pickard, N.A.H., Laursen, G.V., Monibi, S., Mossadegh, Z.K., Svana,T.A., Agrawi, A.A.M., McArthur, J.M. and Thirlwall, M.F (2007) Strontium isotope stratigraphy of the Asmari Formation (Oligocene – Lower Miocene), SW Iran, *Journal of Petroleum Geology*.v. 30 p. 107 128.
- [22] Embry, A.F. and Klovan, J.E (1971) A Late Devonian reef tract on Northeastern Banks Island, NWT Canadian Petroleum Geology Bulletin. v.19 p. 730-781.
- [23] Flügel, E (2010) Microfacies Analysis of Carbonate Rocks, Interpretation and application, Springer-Verlag, Berlin, 976p.
- [24] Geel, T (2000) Recognition of stratigraphic sequence in carbonate platform and slope deposits, empirical models based on microfacies analysis Palaeogene deposits in southeastern Spain, *Palaeogeography*.p.211-238.
- [25] Hallock, P., Glenn, E.C (1986) Larger foraminifera: A tool for paleoenvironmental analysis of Cenozoic depositional facies, *Palaios*.v. 1 p. 55– 64.
- [26] Hardie, L.A (1986) Ancient carbonate tidal flat deposits, *Quarterly Journal of the Colorado School of Mines*. v. 81 p. 37-57.
- [27] Hernández-Romano, U (1999) Facies stratigraphy and diagenesis of the

cyclic carbonate succession: recognizing subaerial exposure in largely subtidal, Middle Ordovician stratigraphic sequence in eastern Tennessee, in Witzka, G.A., Ludvingson, J.E., Day, B.J. (eds.), Paleozoic Sequence Stratigraphy, Views from the North American Craton, Geological Society of America, Special Paper. v. 306 p. 87-115.

- [40] Taheri, A., Vaziri-Moghaddam, H. and Seyrafian, A (2008) Relationships between foraminiferal assemblages and depositional sequences in Jahrum Formation, Ardal area (Zagros Basin, SW Iran), Historycal biology. V. 20 p. 191-201.
- [41] Thomas, A.N (1948) The Asmari limestone of southwest Iran. National Iranian Oil Company, Report 706, unpublished.
- [42] van Buchem, F.S.P., Allan, T.L., Laursen, G.V., Lotfpour, M., Moallemi, A., Monibi, S., Motiei, H., Pickard, N.A.H., Tahmasbi, A.R., Vedrenne, V. and Vincent, B (2010) Regional stratigraphic architecture and reservoir types of the Oligo-Miocene deposits in the Dezful Embayment (Asmari and Pabdeh Formations) SW Iran. Geological Society, London, Special Publications. v. 329 p. 219-263.
- [43] Vaziri-Moghaddam, H., Kimiagari, M. and Taheri, A (2006) Depositional environment and sequence stratigraphy of the Oligocene-Miocene Asmari Formation in SW Iran, Lali Area, Facies. v. 52 p. 41-51.
- [44] Vaziri-Moghaddam, H., Seyrafian, A., Taheri A. and Motiei, H (2010) Oligocene-Miocene ramp system (Asmari Formation) in the NW of the Zagros Basin, Iran: Microfacies, paleoenvironment and depositional sequence, Revista Mexicana de CienciasGeológicas. v. 27 p. 56-71.
- [45] Wilson, J.L (1975) Carbonate facies in geological history, New York, Springer-Verlag, 471p.